

# INORGANIC COMPOUNDS

*Acta Cryst.* (1996), **C52**, 2947–2949

## K<sub>2</sub>MoO<sub>2</sub>(MoO<sub>2</sub>As<sub>2</sub>O<sub>7</sub>)<sub>2</sub>

MOHAMED FAOUZI ZID ET TAHAR JOUINI

Département de Chimie, Faculté des Sciences,  
1060 Campus Universitaire, Tunis, Tunisia. E-mail:  
kamel.benrhouma@cck.rnrt.tn

(Received 22 mai 1996, accepted le 1 juillet 1996)

### Abstract

Dipotassium molybdenyl bis[molybdenyl diarsenate(4–)] is built up from As<sub>2</sub>O<sub>7</sub> groups and MoO<sub>6</sub> corner-sharing octahedra to form a three-dimensional framework with intersecting tunnels where the K<sup>+</sup> ions reside. Structural relationships with the frameworks of the mixed diphosphates CsHMoO<sub>2</sub>P<sub>2</sub>O<sub>7</sub> (one dimensional), Na<sub>2</sub>VOP<sub>2</sub>O<sub>7</sub> (two dimensional) and β-BaV<sub>2</sub>(P<sub>2</sub>O<sub>7</sub>)<sub>2</sub> (three dimensional) are discussed.

### Commentaire

Dans le but de trouver de nouveaux matériaux à charpente ouverte formée d'octaèdres et de tétraèdres, nous poursuivons l'exploration du diagramme K–Mo–As–O, dans lequel nous avons précédemment mis en évidence les composés KMoO<sub>2</sub>AsO<sub>4</sub> (Zid & Jouini, 1996a) et K<sub>2</sub>MoO<sub>2</sub>As<sub>2</sub>O<sub>7</sub> (Zid & Jouini, 1996b).

La charpente de K<sub>2</sub>MoO<sub>2</sub>(MoO<sub>2</sub>As<sub>2</sub>O<sub>7</sub>)<sub>2</sub> peut être décomposée en couches [Mo(2)O<sub>2</sub>As<sub>2</sub>O<sub>7</sub>]<sub>n</sub> reliées au moyen d'octaèdres Mo(1)O<sub>6</sub> dans lesquelles chaque groupement pyro As<sub>2</sub>O<sub>7</sub> met en commun deux sommets oxygènes avec le même octaèdre Mo(2)O<sub>6</sub> formant des unités [Mo(2)As<sub>2</sub>O<sub>11</sub>]. Ces dernières sont reliées par paire pour former des doubles unités structurales [Mo(2)<sub>2</sub>As<sub>4</sub>O<sub>20</sub>].

Les distances interatomiques dans la structure sont conformes à celles rencontrées dans les deux molybdenyls KMoO<sub>2</sub>AsO<sub>4</sub> et K<sub>2</sub>MoO<sub>2</sub>As<sub>2</sub>O<sub>7</sub>. Les calculs des sommes de valences à l'aide de la formule  $S = (d/1,882)^{-6}$  (Brown & Wu, 1976), pour la liaison Mo–O montre que les charges effectives relatives à Mo(1) et Mo(2) sont respectivement égales à 5,989 et 6,015.

La comparaison de la structure de K<sub>2</sub>MoO<sub>2</sub>(MoO<sub>2</sub>As<sub>2</sub>O<sub>7</sub>)<sub>2</sub> avec celle de diphosphates de molybdenyl et de vanadyl renfermant la double unité structurale M<sub>2</sub>P<sub>4</sub>O<sub>20</sub> ( $M = \text{Mo}, \text{V}$ ) décrite ci-dessus, permet d'établir une filiation entre les structures de CsHMoO<sub>2</sub>P<sub>2</sub>O<sub>7</sub> (à une dimension, 1D) (Averbuch-Pouchot, 1989), Na<sub>2</sub>VOP<sub>2</sub>O<sub>7</sub> (à deux dimensions, 2D) (Benhamada, Grandin, Borel, Leclaire & Raveau, 1992) et β-BaV<sub>2</sub>(P<sub>2</sub>O<sub>7</sub>)<sub>2</sub> (à trois dimensions, 3D) (Hwu, Carroll & Serra, 1994). En effet

les unités M<sub>2</sub>P<sub>4</sub>O<sub>20</sub> forment des rubans par partage de sommets dans la structure 1D. Il y a passage à la dimensionnalité deux par établissement de ponts P–O–M entre rubans voisins, de manière à former des couches. Enfin la mise en commun d'atomes d'oxygène, non encore partagés, entre polyèdres de nature différente, assure la liaison entre couches et conduit à une structure à trois dimensions. La structure étudiée a également la dimensionnalité trois mais elle est moins compacte que celle (3D) de β-BaV<sub>2</sub>(P<sub>2</sub>O<sub>7</sub>)<sub>2</sub>: dans cette dernière

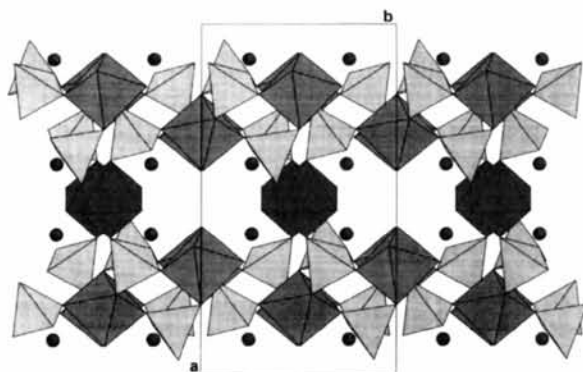


Fig. 1. Projection de la structure de K<sub>2</sub>MoO<sub>2</sub>(MoO<sub>2</sub>As<sub>2</sub>O<sub>7</sub>)<sub>2</sub> selon c.

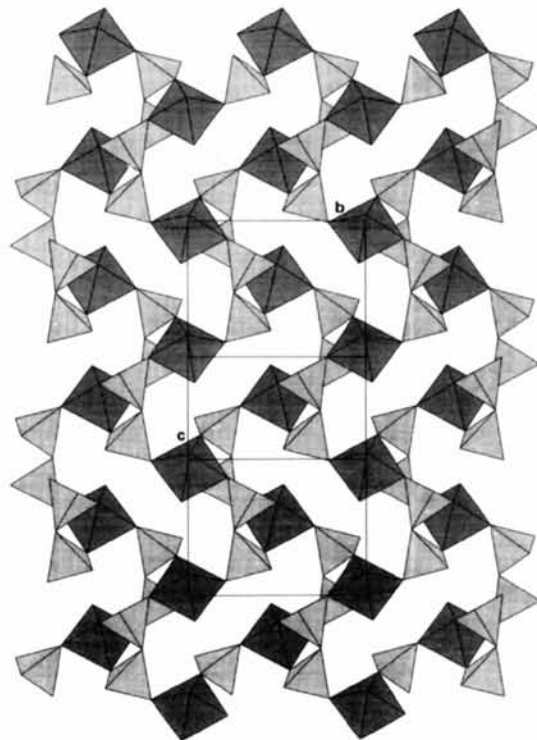


Fig. 2. Projection d'une couche de K<sub>2</sub>MoO<sub>2</sub>(MoO<sub>2</sub>As<sub>2</sub>O<sub>7</sub>)<sub>2</sub> selon a mettant en évidence les doubles unités (Mo<sub>2</sub>As<sub>4</sub>O<sub>20</sub>).

un anion oxygène occupe un volume égal à  $20,1 \text{ \AA}^3$ , alors qu'il est de  $21,5 \text{ \AA}^3$  dans la structure du composé étudié. Cette particularité est due essentiellement au mode de connection des couches. Elles sont directement reliées dans la structure de  $\beta\text{-BaV}_2(P_2O_7)_2$  alors que leur jonction est assurée par les groupements molybdenyls 'intercalés' entre les couches dans la structure de  $K_2MoO_2(MoO_2As_2O_7)_2$  (Fig. 1). En effet la structure étudiée peut être considérée comme dérivant de celle (2D) de  $Na_2VOP_2O_7$  par 'intercalation' de ces groupements molybdenyls  $Mo(1)O_2$ , entre les couches  $[Mo(2)_2As_4O_{18}]_n$ , partageant des sommets oxygènes avec les deux couches adjacentes, cela nécessite une disposition en 'zigzag' des doubles unités structurales à l'intérieur de ces couches (Fig. 2), qui se distingue de la disposition en ligne dans la structure à deux dimensions de  $Na_2VOP_2O_7$ .

### Partie expérimentale

Le composé  $K_2MoO_2(MoO_2As_2O_7)_2$  a été préparé à partir de  $NH_4H_2AsO_4$ ,  $K_2CO_3$  et d'acide molybdique (85%) pris dans le rapport molaire  $K:Mo:As = 1:1:3$ . Le mélange initial, finement broyé, est porté à l'air à  $623 \text{ K}$  pendant  $6 \text{ h}$  en vue de l'élimination de  $NH_3$ ,  $H_2O$  et  $CO_2$ , puis porté à  $900 \text{ K}$  pendant 4 jours. Le mélange fondu est refroidi lentement ( $5^\circ \text{ h}^{-1}$ ) jusqu'à  $850 \text{ K}$  puis refroidi jusqu'à la température l'ambiente. Les cristaux jaunâtre obtenus sont séparés par lavage à l'eau bouillante.

### Données cristallines

$K_2MoO_2(MoO_2As_2O_7)_2$

$M_r = 985,70$

Monoclinique

$C2/c$

$a = 17,479 (4) \text{ \AA}$

$b = 8,929 (2) \text{ \AA}$

$c = 11,959 (3) \text{ \AA}$

$\beta = 113,1 (2)^\circ$

$V = 1716,8 (7) \text{ \AA}^3$

$Z = 4$

$D_x = 3,814 \text{ Mg m}^{-3}$

### Collection des données

Diffractomètre CAD-4

Balance  $\omega$

Correction d'absorption: empirique via balance

$\psi$  (North, Phillips & Mathews, 1968)

$T_{\min} = 0,364$ ,  $T_{\max} = 0,375$

1599 réflexions mesurées

1507 réflexions indépendantes

### Affinement

Affinement à partir des  $F^2$

$R[F^2 > 2\sigma(F^2)] = 0,0303$

$wR(F^2) = 0,0744$

Mo  $K\alpha$  radiation

$\lambda = 0,71069 \text{ \AA}$

Paramètres de la maille à l'aide de 25 réflexions

$\theta = 6-12^\circ$

$\mu = 10,398 \text{ mm}^{-1}$

$T = 293 (2) \text{ K}$

Prismatique

$0,14 \times 0,09 \times 0,09 \text{ mm}$

Jaunâtre

1243 réflexions observées

$[I > 2\sigma(I)]$

$R_{\text{int}} = 0,0356$

$\theta_{\max} = 24,98^\circ$

$h = -19 \rightarrow 20$

$k = 0 \rightarrow 10$

$l = -14 \rightarrow 0$

1 réflexion de référence

fréquence: 60 min

variation d'intensité:

0,35%

Correction d'extinction:

SHELXL93 (Sheldrick, 1993)

$S = 1,106$

1507 réflexions

133 paramètres

$$w = 1/\sigma^2(F_o^2) + (0,0376P)^2 \\ + 10,5034P]$$

où  $P = (F_o^2 + 2F_c^2)/3$

$(\Delta/\sigma)_{\max} < 0,001$

$\Delta\rho_{\max} = 0,874 \text{ e \AA}^{-3}$

$\Delta\rho_{\min} = -1,216 \text{ e \AA}^{-3}$

Coefficient d'extinction:

0,0014 (1)

Facteurs de diffusion des

International Tables for

Crystallography (1992,

Tome C, Tableaux 4.2.6.8

et 6.1.1.4)

Tableau 1. Coordonnées atomiques et facteurs d'agitation thermique isotrope équivalents ( $\text{\AA}^2$ )

	$x$	$y$	$z$	$U_{\text{eq}}$
Mo1	0	0,07625 (9)	1/4	0,0089 (2)
Mo2	0,33253 (3)	0,00224 (6)	0,63929 (5)	0,0097 (2)
As1	0,14033 (4)	0,15230 (7)	-0,03936 (6)	0,0084 (2)
As2	0,18233 (4)	0,15611 (7)	0,23339 (5)	0,0081 (2)
K1	0,4003 (1)	0,2572 (2)	0,3932 (1)	0,0286 (4)
O1	0,0341 (3)	0,1966 (6)	0,3682 (4)	0,021 (1)
O2	0,1094 (3)	0,0333 (5)	0,2354 (4)	0,012 (1)
- O3	0,0413 (3)	0,1134 (5)	-0,1231 (4)	0,015 (1)
O4	0,3665 (3)	0,0402 (6)	0,5291 (4)	0,024 (1)
O5	0,4208 (3)	-0,0054 (6)	0,7655 (4)	0,019 (1)
O6	0,2021 (3)	0,2893 (5)	0,3368 (4)	0,017 (1)
O7	0,2010 (3)	0,0027 (5)	0,0103 (4)	0,015 (1)
O8	0,1769 (3)	0,2772 (5)	-0,1109 (4)	0,013 (1)
O9	0,1393 (3)	0,2430 (5)	0,0912 (4)	0,013 (1)
O10	0,2688 (3)	0,0670 (5)	0,2560 (4)	0,013 (1)

Tableau 2. Paramètres géométriques ( $\text{\AA}$ ,  $^\circ$ )

Mo1—O1 <sup>i</sup>	1,687 (5)	As1—O9	1,765 (4)
Mo1—O1	1,687 (5)	As2—O10	1,634 (4)
Mo1—O2 <sup>i</sup>	2,024 (4)	As2—O6	1,652 (4)
Mo1—O2	2,024 (4)	As2—O2	1,689 (4)
Mo1—O3 <sup>ii</sup>	2,199 (5)	As2—O9	1,749 (5)
Mo1—O3 <sup>iii</sup>	2,199 (5)	K1—O1 <sup>iv</sup>	2,657 (6)
Mo2—O4	1,679 (5)	K1—O4	2,739 (5)
Mo2—O5	1,684 (6)	K1—O3 <sup>vii</sup>	2,797 (5)
Mo2—O6 <sup>v</sup>	2,011 (5)	K1—O10	2,811 (6)
Mo2—O8 <sup>v</sup>	2,034 (5)	K1—O5 <sup>vii</sup>	2,819 (6)
Mo2—O10 <sup>ii</sup>	2,189 (5)	K1—O2 <sup>viii</sup>	2,875 (5)
Mo2—O7 <sup>ii</sup>	2,210 (7)	K1—O8 <sup>ix</sup>	3,121 (7)
As1—O3	1,660 (5)	K1—O6	3,273 (6)
As1—O7	1,664 (5)	K1—O7 <sup>viii</sup>	3,299 (5)
As1—O8	1,678 (4)		
O1 <sup>i</sup> —Mo1—O1	100,9 (4)	O4—Mo2—O10 <sup>ii</sup>	169,4 (2)
O1 <sup>i</sup> —Mo1—O2 <sup>i</sup>	99,1 (3)	O5—Mo2—O10 <sup>ii</sup>	86,2 (2)
O1—Mo1—O2 <sup>i</sup>	94,8 (2)	O6 <sup>iv</sup> —Mo2—O10 <sup>ii</sup>	85,1 (2)
O1 <sup>i</sup> —Mo1—O2	94,8 (2)	O8 <sup>v</sup> —Mo2—O10 <sup>ii</sup>	78,4 (2)
O1—Mo1—O2	99,1 (2)	O4—Mo2—O7 <sup>ii</sup>	92,7 (2)
O2 <sup>i</sup> —Mo1—O2	158,1 (2)	O5—Mo2—O7 <sup>ii</sup>	164,0 (2)
O1 <sup>i</sup> —Mo1—O3 <sup>ii</sup>	168,9 (2)	O6 <sup>iv</sup> —Mo2—O7 <sup>ii</sup>	80,2 (2)
O1—Mo1—O3 <sup>ii</sup>	90,0 (2)	O8 <sup>v</sup> —Mo2—O7 <sup>ii</sup>	82,5 (2)
O2 <sup>i</sup> —Mo1—O3 <sup>ii</sup>	82,0 (2)	O10 <sup>ii</sup> —Mo2—O7 <sup>ii</sup>	77,9 (2)
O2—Mo1—O3 <sup>ii</sup>	81,2 (2)	O3—As1—O7	114,5 (2)
O1 <sup>i</sup> —Mo1—O3 <sup>iii</sup>	90,0 (2)	O3—As1—O8	110,3 (2)
O1—Mo1—O3 <sup>iii</sup>	168,9 (2)	O7—As1—O8	113,5 (2)
O2 <sup>i</sup> —Mo1—O3 <sup>iii</sup>	81,2 (2)	O3—As1—O9	105,0 (3)
O2—Mo1—O3 <sup>iii</sup>	82,0 (2)	O7—As1—O9	106,2 (2)
O3 <sup>ii</sup> —Mo1—O3 <sup>iii</sup>	79,2 (3)	O8—As1—O9	106,5 (2)
O4—Mo2—O5	103,3 (2)	O10—As2—O6	108,6 (3)
O4—Mo2—O6 <sup>iv</sup>	98,2 (2)	O10—As2—O2	109,6 (2)
O5—Mo2—O6 <sup>iv</sup>	97,5 (2)	O6—As2—O2	113,2 (2)
O4—Mo2—O8 <sup>v</sup>	95,7 (2)	O10—As2—O9	113,2 (3)
O5—Mo2—O8 <sup>v</sup>	95,5 (2)	O6—As2—O9	107,0 (2)
O6 <sup>iv</sup> —Mo2—O8 <sup>v</sup>	158,2 (2)	O2—As2—O9	105,3 (3)
Codes de symétrie: (i) $-x, y, \frac{1}{2} - z$ ; (ii) $x, -y, \frac{1}{2} + z$ ; (iii) $-x, -y, -z$ ; (iv) $\frac{1}{2} - x, \frac{1}{2} - y, 1 - z$ ; (v) $\frac{1}{2} - x, y - \frac{1}{2}, \frac{1}{2} - z$ ; (vi) $\frac{1}{2} + x, \frac{1}{2} - y, \frac{1}{2} + z$ ; (vii) $x, -y, z - \frac{1}{2}$ ; (viii) $\frac{1}{2} - x, \frac{1}{2} + y, \frac{1}{2} - z$ ; (ix) $\frac{1}{2} - x, \frac{1}{2} - y, -z$ .			

La largeur de balayage est  $(0,49 + 0,71\text{tg}\theta)^\circ$ . Les intensités ont été corrigées des facteurs de Lorentz et de polarisation. La structure a été résolue par la méthode de l'atome lourd (*SHELXS86*; Sheldrick, 1990) puis affinée par la méthode des moindres carrés (*SHELXL93*; Sheldrick, 1993).

Collection des données: *CAD-4-EXPRESS* (Duisenberg, 1992; Macšek & Yordanov, 1992). Affinement des paramètres de la maille: *CAD-4-EXPRESS*. Réduction des données: *MolEN* (Fair, 1990). Les graphiques moléculaires: *ATOMS* (Dowty, 1993).

Les listes des facteurs de structure et des facteurs d'agitation thermique anisotrope ont été déposées au dépôt d'archives de l'UICr (Référence: DU1162). On peut en obtenir des copies en s'adressant à: The Managing Editor, International Union of Crystallography, 5 Abbey Square, Chester CH1 2HU, Angleterre.

## Références

- Averbuch-Pouchot, M. T. (1989). *J. Solid State Chem.* **79**, 296–299.  
 Benhamada, L., Grandin, A., Borel, M. M., Leclaire, A. & Raveau, B. (1992). *J. Solid State Chem.* **101**, 154–160.  
 Brown, I. D. & Wu, K. K. (1976). *Acta Cryst. B32*, 1957–1959.  
 Dowty, E. (1993). *ATOMS*. Version 2.3. Shape Software, 521 Hidden Valley Road, Kingsport, TN 37663, EU.  
 Duisenberg, A. J. M. (1992). *J. Appl. Cryst.* **25**, 92–96.  
 Fair, C. K. (1990). *MolEN. An Interactive Intelligent System for Crystal Structure Analysis*. Enraf–Nonius, Delft, Les Pays-Bas.  
 Hwu, S. J., Carroll, R. I. & Serra, D. L. (1994). *J. Solid State Chem.* **110**, 290–294.  
 Macšek, J. & Yordanov, A. (1992). *J. Appl. Cryst.* **25**, 73–80.  
 North, A. C. T., Phillips, D. C. & Mathews, F. S. (1968). *Acta Cryst. A24*, 351–359.  
 Sheldrick, G. M. (1990). *Acta Cryst. A46*, 467–473.  
 Sheldrick, G. M. (1993). *SHELXL93. Program for the Refinement of Crystal Structures*. Université de Göttingen, Allemagne.  
 Zid, M. F. & Jouini, T. (1996a). *Acta Cryst. C52*, 3–5.  
 Zid, M. F. & Jouini, T. (1996b). *Acta Cryst. C52*, 1334–1336.

*Acta Cryst.* (1996). **C52**, 2949–2951

## Na $\text{Y}$ P<sub>2</sub>O<sub>7</sub>

ALIOU HAMADY AND TAHAR JOUINI

Département de Chimie, Faculté des Sciences, 1060 Campus Universitaire, Tunis, Tunisia. E-mail: kamel.benrhouma. @cck.rnrt.tn

(Received 23 April 1996; accepted 16 July 1996)

## Abstract

Sodium yttrium diphosphate crystallizes in the non-centrosymmetric space group  $P2_1$ . The structure consists of corner-sharing  $\text{YO}_6$  octahedra and  $\text{P}_2\text{O}_7$  groups forming an alternate stacking of octahedral and phosphate layers. The framework delimits intersecting tunnels where the  $\text{Na}^+$  cations are located. The  $\text{P}_2\text{O}_7$  groups

show a nearly staggered configuration intermediate between that in  $\text{KYP}_2\text{O}_7$  [Hamady, Zid & Jouini (1994). *J. Solid State Chem.* **113**, 120–124] and that in  $\alpha\text{-NaTiP}_2\text{O}_7$  [Leclaire, Benmoussa, Borel, Grandin & Raveau (1988). *J. Solid State Chem.* **77**, 299–305].

## Comment

The many structural investigations devoted to the  $\text{A}^1\text{M}^{III}\text{P}_2\text{O}_7$ -type diphosphates in the last 15 years have shown the existence of five structural types.

The compounds of type I exhibit the  $\text{KAIP}_2\text{O}_7$  structure (Nam Ng & Calvo, 1973), whereas those of type II are isotropic with  $\text{NaFeP}_2\text{O}_7$  (Gabélica-Robert, Goreaud, Labbé & Raveau, 1982). The lithium-containing compounds form the third family and adopt the  $\text{LiFeP}_2\text{O}_7$  structure (Genkina, Maksimov, Timofeeva, Bykov & Mel'nikov, 1985; Riou, Nguyen, Benloucif & Raveau, 1990). The fourth type is only represented by  $\alpha\text{-NaTiP}_2\text{O}_7$  (Leclaire, Benmoussa, Borel, Grandin & Raveau, 1988). A fifth type occurs for the  $\text{KYP}_2\text{O}_7$  structure which we have reported recently (Hamady, Zid & Jouini, 1994). The diphosphates of rare earth metals and yttrium, obtained with an alkali metal larger than K, belong to structural type I (Gabélica-Robert & Tarte, 1982). In contrast, little is known about the structural type adopted by rare earth and Y compounds with smaller cations, i.e. Li and Na. The present structural investigation of  $\text{NaYP}_2\text{O}_7$ , reveals a new structural arrangement.

The three-dimensional framework of  $\text{NaYP}_2\text{O}_7$  is built up from corner-sharing  $\text{YO}_6$  octahedra and  $\text{P}_2\text{O}_7$  groups (Fig. 1). The structure can be described as a stacking of alternating octahedral and phosphate layers parallel to  $(10\bar{1})$ ,  $(101)$  and  $(010)$ , leading to the formation of intersecting tunnels where the  $\text{Na}^+$  ions reside (Fig. 2). The  $\text{P}_2\text{O}_7$  group has an almost staggered  $C_s$  symmetry, with the plane containing the  $\text{P}=\text{O}=\text{P}$  bridge, approximately parallel to  $(010)$ , as the pseudo-

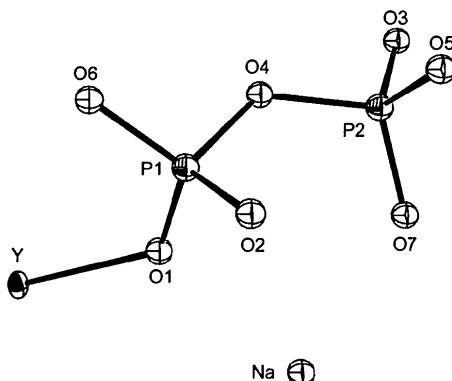


Fig. 1. ORTEP (Johnson, 1965) plot of the asymmetric unit of  $\text{NaYP}_2\text{O}_7$  showing the labelling scheme. Displacement ellipsoids are shown at the 50% probability level.